

О.В. Цыбуленко, И.А. Лурье, Н.В. Корниловская

**МОДЕЛИРОВАНИЕ СПЕКТРА ВЕСОВЫХ  
КОЭФФИЦИЕНТОВ КУБАТУР ТИПА ГАУССА -  
ЛЕЖАНДРА НА ТРЕУГОЛЬНОМ ДИСКРЕТНОМ  
ЭЛЕМЕНТЕ**

**Постановка проблемы.** Представление свойств, явлений, процессов, состояний через кратные интегралы очень распространено в научных исследованиях. Многие геометрические и механические величины, которые связаны с непрерывным распределением масс в пределах некоторой плоской фигуры или тела в пространстве, выражаются двойными или, соответственно, тройными интегралами, которые распространяются на эту фигуру или тело. Сюда включаются такие основные величины, как площадь, объем, масса, центр масс, статические моменты и моменты инерции.

При применении метода конечных элементов в инженерных расчетах возникает необходимость расчета матриц, которые определяют свойства элемента, таких как матрицы жесткости, матрицы масс и т.д. При вычислении элементов матриц возрастает сложность подынтегральных выражений, что делает алгебраические выкладки весьма громоздкими. В таких случаях приходится прибегать к численному интегрированию, при котором стандартный интеграл заменяется кубатурной суммой. Отметим, что с точки зрения метода дискретных элементов, как отмечал Зенкевич [1], даже лучше, что интегралы будут вычислены приближенно, а не точно. Избыточная жесткость, которая возникает как следствие аппроксимации дискретными элементами, может быть компенсирована приближенным интегрированием. Это в свою очередь сглаживает погрешность самого МКЭ как численного метода.

Формулы, в которых варьируются не только весовые коэффициенты, а и координаты узлов интегрирования (кубатыры типа Гаусса - Лежандра) дают наилучшую точность, поэтому представляют наибольший интерес для исследователей.

Алгебраический подход приводит к отрицательным весам в спектре. Такие модели не рекомендуют к практическому применению.

**Анализ предшествующих исследований.** Вопросы приближенного интегрирования на дискретных элементах рассматривались в работах Зенкевича О. [1], Сегерлинда Л. [2], Бенерджи П. и Баттерфилда Р. [3]. Во всех этих работах, к сожалению, для треугольного дискретного элемента третьего порядка была допущена ошибка, которая вплоть до выхода в свет книги [4] тиражировалась другими авторами. Ошибка состоит в нарушении соответствия между барицентрическими координатами узлов интегрирования и весовыми коэффициентами кубатуры. Авторы указанных публикаций не рекомендуют пользоваться кубатурной формулой из-за отрицательного веса и ошибок округления. Между тем, главным источником погрешностей кубатуры является не отрицательный вес в центре шаблона, а неправильное расположение периферийных узлов. В работе [5] указанная кубатура была реабилитирована. Несоответствие было устранено. Однако, из-за наличия отрицательного весового коэффициента, нарушается физическое правдоподобие спектра весов.

Первые попытки статистически смоделировать весовые коэффициенты были описаны в работах [6,7,8], где рассматривались кубатуры типа Ньютона – Котеса. Для таких моделей оказалось удобно использовать схемы случайных блужданий с поглощениями в граничных узлах. Для моделей типа Гаусса – Лежандра такие схемы не пригодны. Необходимо использовать схемы блужданий с отражающими границами.

**Постановка задачи.** Задача состоит в статистическом нахождении весовых коэффициентов кубатур типа Гаусса – Лежандра на треугольном дискретном элементе с помощью моделирования случайных блужданий

**Основная часть.** Основываясь на результатах работы [5], для дискретного элемента третьего порядка (рис. 1), существуют следующие соответствия между барицентрическими координатами узлов интегрирования и кубатурами:

$$0\left(\frac{1}{3}; \frac{1}{3}; \frac{1}{3}\right), 1\left(\frac{3}{5}; \frac{1}{5}; \frac{1}{5}\right), 2\left(\frac{1}{5}; \frac{3}{5}; \frac{1}{5}\right), 3\left(\frac{1}{5}; \frac{1}{5}; \frac{3}{5}\right); \quad (1)$$

$$\iint_D f \, dS \approx \text{mes } D \left( -\frac{27}{48} f_0 + \frac{25}{48} \sum_{i=1}^3 f_i \right) \quad (2)$$

$$0\left(\frac{1}{3}; \frac{1}{3}; \frac{1}{3}\right), 1\left(\frac{11}{15}; \frac{2}{15}; \frac{2}{15}\right), 2\left(\frac{2}{15}; \frac{11}{15}; \frac{2}{15}\right), 3\left(\frac{2}{15}; \frac{2}{15}; \frac{11}{15}\right); \quad (3)$$

$$\iint_D f \, dS \approx \text{mes } D \left( \frac{33}{108} f_0 + \frac{25}{108} \sum_{i=1}^3 f_i \right). \quad (4)$$

Для маршрутизации случайных блужданий на элемент накладывается сетка с треугольными ячейками (рис. 2).

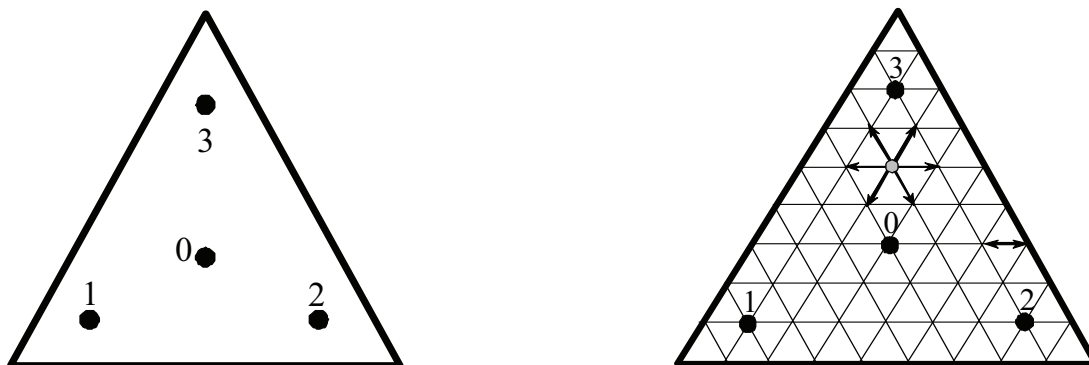


Рисунок 1 - Треугольный дискретный элемент третьего порядка      Рисунок 2 - Маршрутизация случайных блужданий

Сформулируем правила двумерных случайных блужданий в треугольном элементе с отражающими границами и поглощающими узлами. Точка старта выбирается случайным образом в одном из внутренних узлов решетки. Если этот узел не совпадает ни с одним из расчетных узлов кубатуры, то блуждающая частица имеет шесть маршрутов (рис. 2). При попадании частицы на границу области, она отражается от нее и возвращается в тот узел треугольной решетки, из которого вышла на границу. Частица поглощается только узлами интегрирования.

Компьютерные эксперименты для координат узлов (1) и (3) дали следующие результаты (табл. 1 и 2), количество выпущенных частиц – 1000000; количество отрезков, на которые разбивается каждая сторона треугольника – 30.

Таблица 1

Весовые коэффициенты для координат (1)

Координаты узла	Эксперимент	Точное значение
0(1/3,1/3,1/3)	0,229995	-27/48 ≈ -0,5625
1(3/5,1/5,1/5)	0,256893	25/48 ≈ 0,52083333
2(1/5,3/5,1/5)	0,256955	25/48 ≈ 0,52083333
3(1/5,1/5,3/5)	0,256157	25/48 ≈ 0,52083333

Таблица 2 подтверждает физическое правдоподобие спектра кубатуры (4).

Весовые коэффициенты для координат (3)

Координаты узла	Эксперимент	Точное значение
0(1/3,1/3,1/3)	0,296958	33/108 ≈ 0,30555556
1(11/15,2/15,2/15)	0,234313	25/108 ≈ 0,23148148
2(2/15,11/15,2/15)	0,234527	25/108 ≈ 0,23148148
3(2/15,2/15,11/15)	0,234202	25/108 ≈ 0,23148148

Естественно, что при статистическом моделировании получаем положительный спектр весов. Поэтому, полученные результаты дают альтернативную кубатуру для узлов (1). В связи с этим, представляет интерес сравнение «экспериментальной» кубатуры (ЭК) с кубатурой (2) на тестовых примерах.

Для тестирования были использованы следующие функции [9]:

$$f(x, y) = \sin(\pi(x^2 + y^2)); \quad (\text{a})$$

$$f(x, y) = \exp(yx); \quad (\text{б})$$

$$f(x, y) = \frac{\exp[\sin(x)] \cos(x)}{y^2 + 1}. \quad (\text{в})$$

Для функции а) характерно быстрое изменение градиентов по области конечного элемента, где КЭ – это правильный треугольник, вписанный в окружность единичного радиуса, центр тяжести которого совпадает с началом координат (рис. 3). Функции б) и в) в пределах области интегрирования имеют медленно изменяющиеся градиенты (рис. 4, 5).

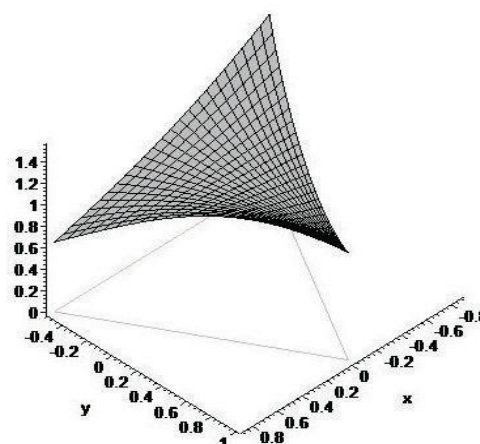
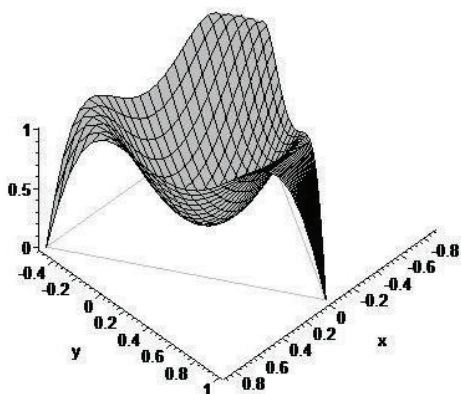


Рисунок 3 – График функции (а)      Рисунок 4 – График функции (б)

Результаты тестирования сравниваются с результатами, полученными при вычислении интегралов с помощью вычислительного процессора Maple (таблица 3).

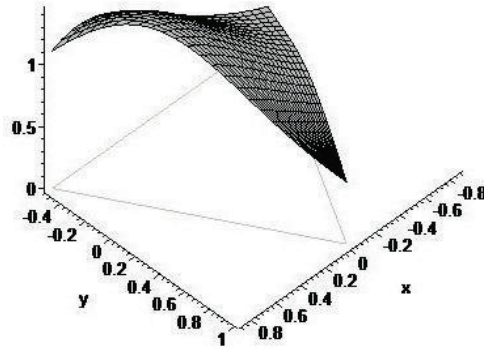


Рисунок 5 – График функции (в)

Таблица 3

Результаты тестирования ЭК и кубатуры (2)

Функция	Результат Maple	ЭК	Погрешность	Кубатура (2)	Погрешность
(а)	0,7344	0,4807	34,54	0,9780	33,19
(б)	1,307	1,301	0,46	1,302	0,38
(в)	1,158	1,224	5,69	1,148	0,86

**Выводы.** Экспериментальные спектры весовых коэффициентов для узлов (1) были получены, используя тот же алгоритм, что и для узлов (3). Однако, «экспериментально» полученная кубатура с казалась бы физически правдоподобным спектром весов «дает» худший результат. Таким образом, несмотря на отрицательный вес, кубатура (2) предпочтительнее для вычисления интегралов. Предостережения, которые существуют в литературе [1,2], не всегда оправданы. Представляет интерес рассмотрение кубатур Гаусса – Лежандра на трехмерных элементах и элементах других конфигураций.

#### ЛИТЕРАТУРА

1. Зенкевич О. Метод конечных элементов в технике. – М.: Мир, 1975. – 541 с.
2. Сегерлинд Л. Применение метода конечных элементов. – М.: Мир, 1979. – 392 с.
3. Бенерджи П., Баттерфилд Р. Методы граничных элементов в прикладных науках. – М.: Мир, 1984. – 494 с.
4. Зенкевич О., Морган К. Конечные элементы и аппроксимация. – М.: Мир, 1986. – 318 с.
5. Хомченко А.Н., Лурье И.А., Корниловская Н.В., Цыбуленко О.В. Об оценках кратных интегралов по Гауссу//Геометричне та

- комп'ютерне моделювання. – Харків: ХДУХТ, 2005. – Вип. 10. – С. 51-55.
6. Хомченко А., Зуб П., Цибуленко О. Геометрія випадкових блукань у центорованих дискретних елементах // Сучасні проблеми геометричного моделювання: Матеріали Міжнародної науково – практичної конференції. – Львів: НУ «Львівська політехніка», 2003. – С. 104 – 106.
7. Хомченко А.Н., Тулученко Г.Я. Стохастичні моделі для комп'ютерної діагностики вагових спектрів кубатур // Вісник Харківського національного університету ім. В.Н. Каразіна. Серія «Математичне моделювання. Інформаційні технології. Автоматизовані системи управління». – 2004. – Вип. 3, № 629. – С. 33 – 38.
8. Тулученко Г.Я., Хомченко А.Н. Моделі випадкових блукань на трикутних скінченних елементах вищих порядків // Прикладна геометрія та інженерна графіка. – Мелітополь: ТДАТА, 2004. – Вип. 4. - Том 28. – С. 32 – 36.
9. Тулученко Г.Я., Хомченко А.Н. Обчислювальні експерименти з ваговими коефіцієнтами кубатур на скінченних елементах вищих порядків // Геометричне та комп'ютерне моделювання. – Харків: ХДУХТ, 2005. – Вип. 11. – С. 37-43.

Получено 15.03.2006 г.

УДК 515.2, 681.3

А.В. Черников

## ПРИКЛАДНАЯ ГЕОМЕТРИЯ ДИНАМИЧЕСКИХ ФОРМООБРАЗОВАНИЙ

**Постановка проблемы.** Вопросы исследования технологических процессов в промышленности (например, добыча нефти и газа, фильтрование), природных процессов и явлений (в частности, эрозии почв, наступления пустынь) и т.д. часто требуют проведения виртуального эксперимента с построением компьютерных моделей изменения объектов во времени под действием внешних сил. Для использования всех возможностей компьютерной техники необходима разработка соответствующих геометрических моделей объектов, процессов и явлений.

© А.В. Черников, 2006